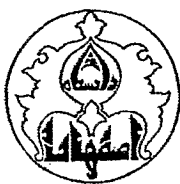


بِسْمِ اللّٰهِ الرَّحْمٰنِ الرَّحِيْمِ



دانشگاه اصفهان

دانشکده مهندسی

گروه مهندسی شیمی

## پایان نامه‌ی کارشناسی ارشد رشته‌ی مهندسی شیمی

مدل‌سازی ریاضی و شبیه‌سازی عملیات نمودایی هوا توسط تری‌اتیلن گلایکول (TEG) در

یک برج آکنده

استادان راهنما:

دکتر امیر رحیمی

دکتر محمد رضا طلابی

پژوهشگر:

داود باباخانی

۱۳۸۸/۰۶

بهمن ماه ۱۳۸۷

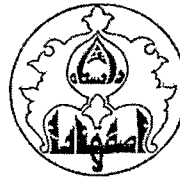
گذخرا  
اطلاعات مارک صنی بردا  
آنستیتوی مارک

۱۱۴۲۱۶

کلیه حقوق مادی مترتب بر نتایج مطالعات، ابتكارات  
و نوآوری های ناشی از تحقیق موضوع این پایان نامه  
متعلق به دانشگاه اصفهان است.



پژوهشگاه اسناد پاره نامه  
رعایت شده است  
تحصیلات تکمیلی دانشگاه اصفهان



دانشگاه اصفهان

دانشکده مهندسی

گروه مهندسی شیمی

پایان نامه‌ی کارشناسی ارشد رشته‌ی مهندسی شیمی آقای داود باباخانی تحت عنوان

## مدل‌سازی ریاضی و شبیه‌سازی عملیات نمزدایی هوا توسط تری‌اتیلن گلایکول (TEG) در یک برج آکنده

در تاریخ ۱۲/۴/۸۷ توسط هیأت داوران زیر بررسی و با درجه عالی به تصویب نهایی رسید.

امضا

امضا

امضا

امضا

۱- استاد راهنمای اول پایان نامه دکتر امیر رحیمی با مرتبه‌ی علمی استادیار

۲- استاد راهنمای دوم دکتر محمد رضا طلایبی با مرتبه‌ی علمی استادیار

۳- استاد داور داخل گروه دکتر محمد صادق حاتمی پور با مرتبه‌ی علمی استادیار

۴- استاد داور خارج از گروه دکتر محمد رضا احسانی با مرتبه‌ی علمی دانشیار

۱۳۸۸/۰۱/۰۶

امضای مدیر گروه

دکتر محمد رضا سلیمانی نظر

## سپاسگزاری

سپاس و ستایش بی حد آن خدابی راست که به انسان علم نوشتند به قلم آموخت و آنچه او نمی‌دانست تعلیمش داد. در انجام این پایان‌نامه خود را رهین رهنمودهای مشفقارنه استاد گران‌مایه جناب آقای دکتر امیر رحیمی و مشاورت دلسوزانه استاد ارجمند جناب آقای دکتر محمد رضا طلایی می‌دانم. بزرگان و عزیزانی که با حوصله‌ی تمام و نکته‌ی بینی‌های دقیق، بنده را ذر گذر از این مهم به عهده گرفتند و با متانت و صبر، پاسخگوی پرسش‌های بنده در زمینه‌های مختلف بودند. بی شک اگر راهنمایی و راهگشایی این عزیزان نبود، این‌جانب نیز به این موفقیت نائل نمی‌شدم.

باباخانی

**تقدیم به:**

پدر زحمتکش و مادر مهربان، اقیانوس بی کران صفا و صمیمیت که لحظه لحظه زندگیم را مرهون فداکاری‌ها و دعاهای اویم.

خواهر و برادران عزیزم که هر کدام به نحوی مرا در أمر تحصیل یاری کرده‌اند.

پدر و مادر همسرم که با چراغ هدایتی که در دست داشتند، عالمانه و حکیمانه راه پیشرفت علمی مرا روشن و در حل مشکلات دوران تحصیل مرا یار و یاور بودند.

همسر عزیزم که با بردباری و خوش‌رویی، مرا در راه کسب علم و معرفت تشویق نمود و با تحمل مشکلاتی مرا یاری کرد.

## چکیده

در تحقیق حاضر فرآیند نمودایی هوا در یک برج پرشده با آکتهای تصادفی و یا ساختاریافته تحت مدل‌سازی ریاضی قرار گرفته است. معادلات دیفرانسیل حاکم بر سیستم با استفاده از قوانین بقاء جرم و انرژی به دست آمدند. این معادلات با استفاده از روش‌های عددی و به کمک روابط تجربی مختلفی که توسط پژوهشگران چهت محاسبه ضرایب انتقال جرم و حرارت و همچنین سطح موثر انتقال جرم برای آکتهای تصادفی و ساختاریافته ارائه شده است، حل شده و نتایج حاصل از آن با مقادیر آزمایشگاهی و صنعتی موجود در منابع معتبر مقایسه شده است. بدین منظور یک بسته نرم‌افزاری با استفاده از زبان برنامه‌نویسی فرتون تهیه شده است. به کمک مدل‌سازی صورت گرفته نقش روابط تجربی مختلف ارائه شده چهت پیش‌بینی سطح موثر انتقال جرم و ضرایب انتقال در پیش‌بینی مدل بررسی و تأثیرپذیری نتایج مدل‌سازی از آن‌ها مطالعه گردید. نتایج نشان دادند که تحت شرایط یکسان عملیاتی، استفاده از روابط تجربی مختلف چهت محاسبه ضریب انتقال جرم و یا سطح موثر انتقال جرم باعث می‌گردد تا پیش‌بینی مدل در خصوص پارامترهای عملیاتی خروجی از برج مانند دمای هوا و مایع نمودا، رطوبت هوا و غلظت مایع نمودا بسیار متفاوت باشد. نتایج به دست آمده در این خصوص نشان می‌دهد برای برج‌های نمودایی با آکتهای تصادفی استفاده از رابطه تجربی شی و مرسمن چهت محاسبه سطح موثر انتقال جرم، رابطه تربیال چهت محاسبه ضریب انتقال حرارت و رابطه چانگ و همکاران چهت محاسبه ضریب انتقال جرم می‌تواند پیش‌بینی بهتری از مقادیر خروجی از برج به دست دهد. همچنین چهت مدل‌سازی فرآیند نمودایی هوا در یک برج آکتهای ساختاریافته، استفاده از رابطه تجربی روخا و همکاران چهت محاسبه سطح موثر انتقال جرم، رابطه تربیال چهت محاسبه ضریب انتقال حرارت و رابطه چانگ و همکاران چهت محاسبه ضریب انتقال جرم بهترین پیش‌بینی را از مقادیر خروجی از برج خواهد داد. حداقل خطای حاصل از نتایج مدل در این موارد کمتر از ۱۰٪ می‌باشد. همچنین با عنایت به اینکه مدل حاضر می‌تواند برای فرآیند احیاء مایع نمودا نیز مورد استفاده قرار گیرد، نتایج حاصل از آن با داده‌های آزمایشگاهی فرآیند احیاء مقایسه شده و خطای حاصل از آن در حدود ۱۰٪ به دست آمده است. بنابراین از مدل حاضر و بسته نرم‌افزاری تهیه شده می‌توان در امر مدل‌سازی و شبیه‌سازی فرآیند نمودایی هوا و احیاء مایع نمودا در یک برج پرشده استفاده کرد. از اهداف دیگر این تحقیق مقایسه بین آکتهای تصادفی و ساختاریافته از نقطه نظر راندمان نمودایی و افت فشار ایجاد شده در سیستم است. نتایج نشان دادند که با استفاده از آکتهای ساختاریافته ارتفاع لازم از آکته چهت راندمان جداسازی یکسان، کمتر از آکته تصادفی می‌باشد که این امر منجر به کاهش هزینه‌ها خواهد شد. همچنین افت فشار ایجاد شده در سیستم با استفاده از آکته ساختاریافته کمتر خواهد بود.

همچنین با عنایت به اینکه با استفاده از حل تحلیلی زمان لازم چهت حصول نتایج کمتر از از روش عددی، می‌باشد، در ادامه‌ی این تحقیق برای برج نمودا یک حل تحلیلی ارائه شده و نتایج حاصل از آن با استفاده از روابط تجربی تأیید شده قبلی با مقادیر آزمایشگاهی مقایسه شده است. همچنین مقایسه‌ای بین نتایج حاصل از حل تحلیلی حاضر با حل‌های تحلیلی که توسط برخی از پژوهشگران به دست آمده‌اند صورت گرفته است. نتایج حاصله حاکی از آن است که دقت حل تحلیلی ارائه شده در تحقیق حاضر بیشتر از حل‌های تحلیلی دیگران می‌باشد. علاوه بر آنچه ذکر گردید مقادیر پارامترهای مورد نیاز چهت محاسبه‌ی راندمان نمودایی

با استفاده از مدل به دست آمده و مقادیر راندمان نهزادایی پیش‌بینی شده با مقادیر تجربی که توسط برخی از محققین ارائه شده، مقایسه شده است.

**واژگان کلیدی:** نهزادایی از هوا، ستون پرشده، مایع نهزاد، حل تحلیلی

## فهرست مطالب

عنوان

صفحه

### فصل اول: مرواری بر مطالعات آزمایشگاهی و مدل‌سازی صورت گرفته

۱-۱ تحقیقات آزمایشگاهی صورت گرفته‌ی اخیر.....	۳
۲-۱ مدل‌های ریاضی ارائه شده .....	۷
۲-۱-۱ مدل فومو و گوسوامی (۲۰۰۲) .....	۷
۲-۱-۲ مدل گندھیداسان (۲۰۰۴) .....	۸
۲-۱-۳ مدل چن و همکاران (۲۰۰۶) .....	۱۰
۲-۱-۴ مدل چنگ کین و همکاران (۲۰۰۶) .....	۱۱
۲-۱-۵ مدل گندھیداسان (۲۰۰۵) .....	۱۳
۲-۱-۶ مدل لونگو و گاسپارلا (۲۰۰۵) .....	۱۴

### فصل دوم: مدل‌سازی ریاضی

۱-۲ بازدهی برج‌های نمودا.....	۱۷
۲-۱ مدل ریاضی .....	۱۸
۲-۱-۱ موازنی جرم بخار آب در فاز گاز (حجم کنترل I) .....	۱۹
۲-۱-۲ موازنی انرژی در فاز گاز (حجم کنترل I) .....	۲۰
۲-۱-۳ موازنی جرم کلی روی حجم کنترل III .....	۲۱
۲-۱-۴ موازنی جرم بخار آب روی حجم کنترل III .....	۲۱
۲-۱-۵ موازنی انرژی در فاز مایع (حجم کنترل II) .....	۲۱
۲-۲ ضرایب انتقال جرم و حرارت.....	۲۲
۲-۲-۱ محاسبه ضرایب انتقال جرم و حرارت.....	۲۳
۲-۲-۲ سطح مؤثر انتقال جرم و حرارت.....	۲۶
۲-۲-۳ فشار بخار تعادلی .....	۲۸
۲-۲-۴ فشار بخار تعادلی لیتیوم کلراید .....	۲۸

۲۸	۲-۵-۲ فشار بخار تعادلی تری‌اتیلن‌گلایکول
۳۱	۶-۲ خواص فیزیکی محلول تری‌اتیلن‌گلایکول
۳۳	۷-۲ افت فشار
۳۳	۱-۷-۲ نقطه‌ی اباضگی و نقطه‌ی طغیان
۳۴	۲-۷-۲ روابط مربوط به پیش‌بینی افت فشار
۳۷	۸-۲ حل عددی
۳۸	۹-۲ حل تحلیلی

#### فصل سوم: نتایج و بحث

۴۵	۱-۳ آنالیز دقت مدل و حل عددی
۶۰	۲-۳ تأثیر پارامترهای عملیاتی بر روی فرآیند نمژدایی و احیاء
۷۰	۳-۳ ارتفاع ستون دیفرانسیلی بر اساس تعداد واحدهای انتقال فاز گاز
۷۱	۴-۳ آنالیز حل تحلیلی
۷۹	۵-۳ مقایسه‌ی آکته‌های تصادفی و ساختاریافته
۸۴	۶-۳ مقایسه‌ی محلول‌های لیتیوم کلراید و تری‌اتیلن‌گلایکول در فرآیند نمژدایی
۸۵	۷-۳ راندمان نمژدایی

#### فصل چهارم: نتیجه گیری و پیشنهادات

۹۰	منابع و مأخذ
----	--------------

## فهرست شکل‌ها

عنوان	صفحه
شکل ۱-۱) سیستم نمزدایی هوا.....	۳
شکل ۱-۲) شمایی از یک جزء دیفرانسیلی در یک برج نمودار	۲۰
شکل ۲-۱) فشار بخار محلول لیتیوم کلراید (یوامورا، ۱۹۶۷)	۲۹
شکل ۳-۱) فشار بخار محلول تریاتیلن گلایکول (Dow chemical company data)	۳۰
شکل ۴-۱) مقایسه‌ی بین مقادیر تجربی فشار بخار محلول لیتیوم کلراید با مقادیر پیش‌بینی شده توسط رابطه‌ی	
شکل ۴-۲) مقایسه‌ی بین مقادیر تجربی فشار بخار محلول تریاتیلن گلایکول با مقادیر پیش‌بینی شده توسط رابطه‌ی	(۳۴-۲)
شکل ۵-۱) مقایسه‌ی بین مقادیر تجربی فشار بخار محلول تریاتیلن گلایکول با مقادیر پیش‌بینی شده توسط رابطه‌ی	
شکل ۵-۲) مقایسه‌ی بین مقادیر تجربی فشار بخار با دبی حجمی هوا.....	(۳۵-۲)
شکل ۶-۱) تغییرات افت فشار با آکنه‌های ساختاریافتہ.....	۳۴
شکل ۱-۳) نمودار نتایج حاصل از مدل مربوط به تغییرات رطوبت هوا در طول برج در شرایط استفاده از روابط تجربی متفاوت و مقایسه‌ی آن با نتایج آزمایشگاهی چانگ و همکاران (۱۹۹۶) در فرآیند نمودایی هوا با استفاده از محلول لیتیوم کلراید در یک برج پرشده با آکنه‌های ساختاریافتہ.....	۴۸
شکل ۲-۳) نمودار نتایج حاصل از مدل مربوط به تغییرات دمای هوا در طول برج در شرایط استفاده از روابط تجربی متفاوت و مقایسه‌ی آن با نتایج آزمایشگاهی چانگ و همکاران (۱۹۹۶) در فرآیند نمودایی هوا با استفاده از محلول لیتیوم کلراید در یک برج پرشده با آکنه‌های ساختاریافتہ.....	۴۸
شکل ۳-۱) نمودار نتایج حاصل از مدل مربوط به تغییرات دمای محلول مایع نمودا در طول برج در شرایط استفاده از روابط تجربی متفاوت و مقایسه‌ی آن با نتایج آزمایشگاهی چانگ و همکاران (۱۹۹۶) در فرآیند نمودایی هوا با استفاده از محلول لیتیوم کلراید در یک برج پرشده با آکنه‌های ساختاریافتہ.....	۴۹
شکل ۴-۱) نمودار نتایج حاصل از مدل مربوط به تغییرات غلظت محلول مایع نمودا در طول برج در شرایط استفاده از روابط تجربی متفاوت و مقایسه‌ی آن با نتایج آزمایشگاهی چانگ و همکاران (۱۹۹۶) در فرآیند نمودایی هوا با استفاده از محلول لیتیوم کلراید در یک برج پرشده با آکنه‌های ساختاریافتہ.....	۴۹
شکل ۵-۱) نمودار نتایج حاصل از مدل مربوط به تغییرات دبی محلول مایع نمودا در طول برج در شرایط استفاده از روابط تجربی متفاوت و مقایسه‌ی آن با نتایج آزمایشگاهی چانگ و همکاران (۱۹۹۶) در فرآیند نمودایی هوا با استفاده	

- از محلول لیتیوم کلراید در یک برج پرشده با آکنه‌های ساختاریافته ..... ۵۰
- شکل ۶-۳) نمودار نتایج حاصل از مدل مربوط به تغییرات رطوبت هوا در طول برج در شرایط استفاده از روابط تجربی متفاوت و مقایسه‌ی آن با نتایج آزمایشگاهی فومو و گوسوامی (۲۰۰۲) در فرآیند نمzdaii هوا با استفاده از محلول لیتیوم کلراید در یک برج پرشده با آکنه‌های تصادفی ..... ۵۱
- شکل ۷-۳) نمودار نتایج حاصل از مدل مربوط به تغییرات دمای هوا در طول برج در شرایط استفاده از روابط تجربی متفاوت و مقایسه‌ی آن با نتایج آزمایشگاهی فومو و گوسوامی (۲۰۰۲) در فرآیند نمzdaii هوا با استفاده از محلول لیتیوم کلراید در یک برج پرشده با آکنه‌های تصادفی ..... ۵۲
- شکل ۸-۳) نمودار نتایج حاصل از مدل مربوط به تغییرات دمای محلول مایع نمzdaii در طول برج در شرایط استفاده از روابط تجربی متفاوت و مقایسه‌ی آن با نتایج آزمایشگاهی فومو و گوسوامی (۲۰۰۲) در فرآیند نمzdaii هوا با استفاده از محلول لیتیوم کلراید در یک برج پرشده با آکنه‌های تصادفی ..... ۵۲
- شکل ۹-۳) نمودار نتایج حاصل از مدل مربوط به تغییرات غلظت محلول مایع نمzdaii در طول برج در شرایط استفاده از روابط تجربی متفاوت و مقایسه‌ی آن با نتایج آزمایشگاهی فومو و گوسوامی (۲۰۰۲) در فرآیند نمzdaii هوا با استفاده از محلول لیتیوم کلراید در یک برج پرشده با آکنه‌های تصادفی ..... ۵۳
- شکل ۱۰-۳) نمودار نتایج حاصل از مدل مربوط به تغییرات دبی محلول مایع نمzdaii در طول برج در شرایط استفاده از روابط تجربی متفاوت و مقایسه‌ی آن با نتایج آزمایشگاهی فومو و گوسوامی (۲۰۰۲) در فرآیند نمzdaii هوا با استفاده از محلول لیتیوم کلراید در یک برج پرشده با آکنه‌های تصادفی ..... ۵۳
- شکل ۱۱-۳) نمودار نتایج حاصل از مدل مربوط به تغییرات رطوبت هوا در طول برج در شرایط استفاده از روابط تجربی متفاوت و مقایسه‌ی آن با مقادیر صنعتی (کوهل و نیلسن، ۱۹۶۰) در فرآیند نمzdaii هوا با استفاده از محلول تری‌اتیلن‌گلایکول در یک برج پرشده با آکنه‌های تصادفی ..... ۵۴
- شکل ۱۲-۳) نمودار نتایج حاصل از مدل مربوط به تغییرات دمای هوا در طول برج در شرایط استفاده از روابط تجربی متفاوت و مقایسه‌ی آن با مقادیر صنعتی (کوهل و نیلسن، ۱۹۶۰) در فرآیند نمzdaii هوا با استفاده از محلول تری‌اتیلن‌گلایکول در یک برج پرشده با آکنه‌های تصادفی ..... ۵۵
- شکل ۱۳-۳) نمودار نتایج حاصل از مدل مربوط به تغییرات دمای محلول مایع نمzdaii در طول برج در شرایط استفاده از روابط تجربی متفاوت و مقایسه‌ی آن با مقادیر صنعتی (کوهل و نیلسن، ۱۹۶۰) در فرآیند نمzdaii هوا با استفاده از محلول تری‌اتیلن‌گلایکول در یک برج پرشده با آکنه‌های تصادفی ..... ۵۵
- شکل ۱۴-۳) نمودار نتایج حاصل از مدل مربوط به تغییرات غلظت محلول مایع نمzdaii در طول برج در شرایط استفاده از روابط تجربی متفاوت و مقایسه‌ی آن با مقادیر صنعتی (کوهل و نیلسن، ۱۹۶۰) در فرآیند نمzdaii هوا با استفاده از

.....	محلول تری‌اتیلن‌گلایکول در. یک برج پرشده با آکنه‌های تصادفی.	۵۶
.....	شکل ۳-۱۵) نمودار نتایج حاصل از مدل مربوط به تغییرات دبی محلول مایع نمزدا در طول برج در شرایط استفاده از روابط تجربی متفاوت و مقایسه‌ی آن با مقادیر صنعتی (کوهل و نیلسن، ۱۹۶۰) در فرآیند نمزدایی هوا با استفاده از محلول تری‌اتیلن‌گلایکول در یک برج پرشده با آکنه‌های تصادفی.	۵۶
.....	شکل ۳-۱۶) نمودار نتایج حاصل از مدل مربوط به تغییرات رطوبت هوا در طول برج در شرایط استفاده از روابط تجربی متفاوت و مقایسه‌ی آن با نتایج آزمایشگاهی فومو و گوسوامی (۲۰۰۲) در فرآیند احیاء محلول لیتیوم کلراید در یک برج پرشده با آکنه‌های تصادفی	۵۸
.....	شکل ۳-۱۷) نمودار نتایج حاصل از مدل مربوط به تغییرات دمای هوا در طول برج در شرایط استفاده از روابط تجربی متفاوت و مقایسه‌ی آن با نتایج آزمایشگاهی فومو و گوسوامی (۲۰۰۲) در فرآیند احیاء محلول لیتیوم کلراید در یک برج پرشده با آکنه‌های تصادفی	۵۸
.....	شکل ۳-۱۸) نمودار نتایج حاصل از مدل مربوط به تغییرات دمای محلول مایع نمزدا در طول برج در شرایط استفاده از روابط تجربی متفاوت و مقایسه‌ی آن با نتایج آزمایشگاهی فومو و گوسوامی (۲۰۰۲) در فرآیند احیاء محلول لیتیوم کلراید در یک برج پرشده با آکنه‌های تصادفی	۵۹
.....	شکل ۳-۱۹) نمودار نتایج حاصل از مدل مربوط به تغییرات غلظت محلول مایع نمزدا در طول برج در شرایط استفاده از روابط تجربی متفاوت و مقایسه‌ی آن با نتایج آزمایشگاهی فومو و گوسوامی (۲۰۰۲) در فرآیند احیاء محلول لیتیوم کلراید در یک برج پرشده با آکنه‌های تصادفی	۵۹
.....	شکل ۳-۲۰) نمودار نتایج حاصل از مدل مربوط به تغییرات دبی محلول مایع نمزدا در طول برج در شرایط استفاده از روابط تجربی متفاوت و مقایسه‌ی آن با نتایج آزمایشگاهی فومو و گوسوامی (۲۰۰۲) در فرآیند احیاء محلول لیتیوم کلراید در یک برج پرشده با آکنه‌های تصادفی	۶۰
.....	شکل ۳-۲۱) تأثیر رطوبت هوای ورودی بر روی ارتفاع مؤثر آکنه در فرآیند نمزدایی هوا با استفاده از محلول لیتیوم کلراید	۶۲
.....	شکل ۳-۲۲) تأثیر رطوبت هوای ورودی بر روی گرadiان انتقال جرم در فرآیند نمزدایی هوا با استفاده از محلول لیتیوم کلراید	۶۳
.....	شکل ۳-۲۳) تأثیر دبی هوا بر روی ارتفاع مؤثر آکنه در فرآیند نمزدایی هوا با استفاده از محلول لیتیوم کلراید	۶۳
.....	شکل ۳-۲۴) تأثیر غلظت ورودی مایع نمزدا بر روی ارتفاع مؤثر آکنه در فرآیند نمزدایی هوا با استفاده از محلول لیتیوم کلراید	۶۴
.....	شکل ۳-۲۵) تأثیر غلظت ورودی مایع نمزدا بر روی گرadian انتقال جرم در فرآیند نمزدایی هوا با استفاده از محلول	

.....	لیتیوم کلراید
۶۴	.....
.....	شکل ۲۶-۳) تأثیر دمی مایع نمزدا بر روی ارتفاع مؤثر آکنه در فرآیند نمزدایی هوا با استفاده از محلول لیتیوم کلراید
۶۵	.....
.....	شکل ۲۷-۳) تأثیر دمای ورودی هوا بر روی ارتفاع مؤثر آکنه در فرآیند نمزدایی هوا با استفاده از محلول لیتیوم کلراید
۶۵	.....
.....	شکل ۲۸-۳) تأثیر دمای ورودی مایع نمزدا بر روی ارتفاع مؤثر آکنه در فرآیند نمزدایی هوا با استفاده از محلول لیتیوم کلراید
۶۶	.....
.....	شکل ۲۹-۳) تأثیر دمای ورودی مایع نمزدا بر روی گرادیان انتقال جرم در فرآیند نمزدایی هوا با استفاده از محلول لیتیوم کلراید
۶۶	.....
.....	شکل ۳۰-۳) تأثیر رطوبت ورودی هوا بر روی ارتفاع مؤثر آکنه در فرآیند احیاء محلول لیتیوم کلراید
۶۸	.....
.....	شکل ۳۱-۳) تأثیر دبی هوا بر روی ارتفاع مؤثر آکنه در فرآیند احیاء محلول لیتیوم کلراید
۶۸	.....
.....	شکل ۳۲-۳) تأثیر غلظت ورودی مایع نمزدا بر روی ارتفاع مؤثر آکنه در فرآیند احیاء محلول لیتیوم کلراید
۶۹	.....
.....	شکل ۳۳-۳) تأثیر دبی مایع نمزدا بر روی ارتفاع مؤثر آکنه در فرآیند احیاء محلول لیتیوم کلراید
۶۹	.....
.....	شکل ۳۴-۳) تأثیر دمای ورودی مایع نمزدا بر روی ارتفاع مؤثر آکنه در فرآیند احیاء محلول لیتیوم کلراید
۷۰	.....
.....	شکل ۳۵-۳) نمودار نتایج حاصل از حل تحلیلی مربوط به تغییرات رطوبت هوا در طول برج در شرایط استفاده از بهترین روابط تجربی به دست آمده و مقایسه‌ی آن با نتایج آزمایشگاهی فومو و گوسوامی (۲۰۰۲) در فرآیند نمزدایی هوا با استفاده از محلول لیتیوم کلراید در یک برج پرشده با آکنه‌های تصادفی
۷۲	.....
.....	شکل ۳۶-۳) نمودار نتایج حاصل از حل تحلیلی مربوط به تغییرات دمای هوا در طول برج در شرایط استفاده از بهترین روابط تجربی به دست آمده و مقایسه‌ی آن با نتایج آزمایشگاهی فومو و گوسوامی (۲۰۰۲) در فرآیند نمزدایی هوا با استفاده از محلول لیتیوم کلراید در یک برج پرشده با آکنه‌های تصادفی
۷۲	.....
.....	شکل ۳۷-۳) نمودار نتایج حاصل از حل تحلیلی مربوط به تغییرات دمای مایع نمزدا در طول برج در شرایط استفاده از بهترین روابط تجربی به دست آمده و مقایسه‌ی آن با نتایج آزمایشگاهی فومو و گوسوامی (۲۰۰۲) در فرآیند نمزدایی هوا با استفاده از محلول لیتیوم کلراید در یک برج پرشده با آکنه‌های تصادفی
۷۲	.....
.....	شکل ۳۸-۳) نمودار نتایج حاصل از حل تحلیلی مربوط به تغییرات رطوبت هوا در طول برج نمزدا در شرایط استفاده از بهترین روابط تجربی به دست آمده و مقادیر مختلف عدد لوپیس و مقایسه‌ی آن با نتایج آزمایشگاهی فومو و گوسوامی (۲۰۰۲) در فرآیند نمزدایی هوا با استفاده از محلول لیتیوم کلراید در یک برج پرشده با آکنه‌های تصادفی
۷۴	.....
.....	شکل ۳۹-۳) نمودار نتایج حاصل از حل تحلیلی مربوط به تغییرات دمای هوا در طول برج نمزدا در شرایط استفاده از بهترین روابط تجربی به دست آمده و مقادیر مختلف عدد لوپیس و مقایسه‌ی آن با نتایج آزمایشگاهی فومو و گوسوامی

- (۲۰۰۲) در فرآیند نمزدایی هوا با استفاده از محلول لیتیوم کلراید در یک برج پرشده با آکنه‌های تصادفی ..... ۷۴
- شکل ۴۰-۳) نمودار نتایج حاصل از حل تحلیلی مربوط به تغییرات دمای هوا در طول برج نمzدا در شرایط استفاده از بهترین روابط تجربی به دست آمده و مقادیر مختلف عدد لوبیس و مقایسه‌ی آن با نتایج آزمایشگاهی فومو و گوسوامی ..... ۷۵
- (۲۰۰۲) در فرآیند نمzدایی هوا با استفاده از محلول لیتیوم کلراید در یک برج پرشده با آکنه‌های تصادفی ..... ۷۵
- شکل ۴۱-۳) نمودار نتایج حاصل از حل تحلیلی مربوط به تغییرات رطوبت هوا در طول برج احیاء در شرایط استفاده از بهترین روابط تجربی به دست آمده و مقادیر مختلف عدد لوبیس و مقایسه‌ی آن با نتایج آزمایشگاهی فومو و گوسوامی ..... ۷۵
- (۲۰۰۲) در فرآیند احیاء محلول لیتیوم کلراید در یک برج پرشده با آکنه‌های تصادفی ..... ۷۵
- شکل ۴۲-۳) نمودار نتایج حاصل از حل تحلیلی مربوط به تغییرات دمای هوا در طول برج احیاء در شرایط استفاده از بهترین روابط تجربی به دست آمده و مقادیر مختلف عدد لوبیس و مقایسه‌ی آن با نتایج آزمایشگاهی فومو و گوسوامی ..... ۷۶
- (۲۰۰۲) در فرآیند احیاء محلول لیتیوم کلراید در یک برج پرشده با آکنه‌های تصادفی ..... ۷۶
- شکل ۴۳-۳) نمودار نتایج حاصل از حل تحلیلی مربوط به تغییرات دمای مایع نمzدا در طول برج احیاء در شرایط استفاده از بهترین روابط تجربی به دست آمده و مقادیر مختلف عدد لوبیس و مقایسه‌ی آن با نتایج آزمایشگاهی فومو و گوسوامی ..... ۷۶
- شکل ۴۴-۳) نمودار مقایسه‌ی نتایج حاصل از حل‌های تحلیلی مربوط به رطوبت خروجی هوا در طول برج نمzدا در شرایط استفاده از بهترین روابط تجربی به دست آمده و با استفاده از نتایج آزمایشگاهی فومو و گوسوامی (۲۰۰۲) در فرآیند نمzدایی هوا با استفاده از محلول لیتیوم کلراید در یک برج پرشده با آکنه‌های تصادفی ..... ۷۸
- شکل ۴۵-۳) نمودار مقایسه‌ی نتایج حاصل از حل‌های تحلیلی مربوط به دمای خروجی هوا در طول برج نمzدا در شرایط استفاده از بهترین روابط تجربی به دست آمده و با استفاده از نتایج آزمایشگاهی فومو و گوسوامی (۲۰۰۲) در فرآیند نمzدایی هوا با استفاده از محلول لیتیوم کلراید در یک برج پرشده با آکنه‌های تصادفی ..... ۷۸
- شکل ۴۶-۳) نمودار مقایسه‌ی نتایج حاصل از حل‌های تحلیلی مربوط به دمای خروجی مایع نمzدا در طول برج نمzدا در شرایط استفاده از بهترین روابط تجربی به دست آمده و با استفاده از نتایج آزمایشگاهی فومو و گوسوامی (۲۰۰۲) در فرآیند نمzدایی هوا با استفاده از محلول لیتیوم کلراید در یک برج پرشده با آکنه‌های تصادفی ..... ۷۹
- شکل ۴۷-۳) نمودار تأثیر آکنه‌های تصادفی و ساختاریافته در پیش‌بینی ارتفاع مورد نیاز از آکنه جهت دست‌یابی به یک راندمان مشخص از نمzدایی با استفاده از مقادیر آزمایشگاهی چانگ و همکاران (۱۹۹۶) ..... ۸۱
- شکل ۴۸-۳) نمودار تأثیر آکنه‌های تصادفی و ساختاریافته در پیش‌بینی ارتفاع مورد نیاز از آکنه جهت دست‌یابی به یک راندمان مشخص از نمzدایی با استفاده از داده‌های صنعتی کوهل و نیلسن (۱۹۶۰) ..... ۸۲
- شکل ۴۹-۴) نمودار تأثیر شکل آکنه‌ی تصادفی بر روی افت فشار بستر خیس ..... ۸۲

- شکل ۵۰-۴) نمودار تأثیر شکل آکنه‌ی ساختاریافته بر روی افت فشار بستر خیس ..... ۸۳
- شکل ۵۱-۳) نمودار مقایسه و تأثیر آکنه‌های تصادفی و ساختاریافته بر روی افت فشار بستر خیس ..... ۸۳
- شکل ۵۲-۳) مقایسه‌ی محلول‌های نمزدای لیتیوم کلراید و تری‌اتیلن‌گلایکول در فرآیند نمزدایی هوا با استفاده از نتایج آزمایشگاهی فومو و گوسوامی در یک برج پرشده با آکنه‌ی تصادفی (۲۰۰۲) ..... ۸۴
- شکل ۵۳-۳) تأثیر دبی هوا بر روی راندمان نمزدایی با استفاده از داده‌های فومو و گوسوامی (۲۰۰۲). ..... ۸۶
- شکل ۵۴-۳) تأثیر دبی محلول مایع نمزا بر روی راندمان نمزدایی با استفاده از داده‌های فومو و گوسوامی (۲۰۰۲) ..... ۸۶

## فهرست جداول

عنوان	صفحه
جدول ۱-۱) چکیده مشخصات و نتایج مطالعات آزمایشگاهی اخیر در خصوص برج‌های نمزدا / احياء در دوره‌ی زمانی ۵	۲۰۰۷-۲۰۰۰
جدول ۱-۲) روابط تجربی جهت محاسبه‌ی بازدهی نمزدایی ۱۸	۱۸
جدول ۲-۱) روابط تجربی جهت محاسبه‌ی ضریب انتقال جرم ۲۵	۲۵
جدول ۳-۱) روابط تجربی جهت محاسبه‌ی ضریب انتقال حرارت ۲۵	۲۵
جدول ۴-۱) روابط تجربی جهت محاسبه‌ی سطح مؤثر انتقال جرم ۲۷	۲۷
جدول ۵-۱) روابطی جهت محاسبه‌ی خواص ترموفیزیکی محلول تری‌اتیلن‌گلایکول ۳۲	۳۲
جدول ۶-۱) خواص فیزیکی نموداهای مایع در ۲۵ درجه سانتیگراد ۳۳	۳۳
جدول ۷-۱) مشخصه‌های فیزیکی آکنه و ثابت‌های رابطه‌ی (۴۰-۲)، (رالف، ۱۹۸۷)	۳۷
جدول ۱-۳) شرایط عملیاتی و مشخصه‌های فیزیکی برج نمودا ۴۶	۴۶

## کوتاه نوشت‌ها

سطح مخصوص آکنه به ازای واحد حجم،	$m^2/m^3$	$a_p$
مساحت سطح مرطوب آکنه،	$m^2/m^3$	$a_w$
سطح مقطع انتقال جرم،	$m^2$	$A$
عرض کانال،	$m$	$B$
نسبت ظرفیت حرارتی هوا به مایع، (بدون بعد)		$c^*$
حرارت مخصوص	$kJ/kg^\circ C$	$c_p$
ثابت‌های معادله‌ی (۴۰-۲)		$C_3, C_2, C_1$
ضریب نفوذ برای ترکیب کلیدی،	$m^2/s$	$D$
قطر،	$m$	$d$
ضریب انتقال جرم،	$kmol/m^2 s$	$F$
ضریب اصطکاک برای عبور جریان از یک ذره‌ی ساده، (بدون بعد)		$f_0$
فلاکس جرمی هوا،	$kg/m^2 s$	$G$
ثابت گرانش،	$m/s^2$	$g$
آنالپی مخلوط هوا و بخار آب به ازای واحد جرم هوا خشک،	$kJ/kg \text{ dry air}$	$H$
آنالپی،	$kJ/kg$	$h$
آنالپی هوا در تعادل با مایع نمودای ورودی،	$kJ/kg$	$h_e$
جمع مایع عملیاتی در بستر آکنه زیر نقطه انباشتگی، (بدون بعد)		$h_b$
ضریب انتقال حرارت،	$kw/m^2 K$	$h$
ضریب انتقال حرارت اصلاح شده برای انتقال همزمان جرم و انرژی،	$kJ/m^3 s$	$h' a_p$
ارتفاع معادل با یک مرحله‌ی ایده‌آل،	$m$	$HETP$
ضریب کلی انتقال جرم،	$kmol/m^2 s$	$K$
هدایت حرارتی گاز،	$kw/mK$	$k$

فلاکس جرمی محلول مایع نمزد، $kg/m^2 s$	$L$
عدد لوییس (بدون بعد)	$Le$
دبی چگالش آب، $g/s$	$m$
نسبت ظرفیت حرارتی، (بدون بعد)	$m^*$
دبی جرمی، $kg/s$	$m$
وزن مولکولی، $kg/kmol$	$M$
فلاکس انتقال جرم بخار آب، $kmol/m^2 s$	$N$
عدد ناسلت، (بدون بعد)	$Nu$
تعداد واحدهای انتقال جرم، (بدون بعد)	$NTU$
پشار، $Pa$	$P$
عدد پرانتل، بدون بعد	$Pr$
فلاکس حرارتی، $kJ/s$	$q$
فلاکس حرارتی به ازای مساحت سطح مقطع، $kw/m^2$	$q''$
نسبت جرمی هوا به مایع بدون آب (بدون بعد)	$R_m$
نسبت ظرفیت حرارتی مخصوص بخار (بدون بعد)	$R_{cv}$
عدد رینولز، (بدون بعد)	$Re$
عدد اشمیت، (بدون بعد)	$Sc$
عدد شروود، (بدون بعد)	$Sh$
صلع کانال، $m$	$S$
دما، $^\circ C$	$T$
دمای سیال گرم کننده، $^\circ C$	$T_{h,i}$
دمای آب خنک کننده، $^\circ C$	$T_{c,i}$
سرعت ظاهری، $m/s$	$U$
رطوبت هوا ( $kg$ هوای خشک/ $kg$ آب)	$w$

غلظت مایع نمزدا،  $kg/kg$  مایع نمزدا)

$X$

جزء مولی آب در محلول،  $kmol/kmol$

$x$

رطوبت هوا ( $kg/kg$  هوا خشک آب)

$Y$

غلظت مولی آب در هوا،  $kmol/kmol$

$y$

ارتفاع پکینگ،  $m$

$Z$

حروف یونانی

نسبت اختلاف فشار بخار به رطوبت، (بدون بعد)

$\alpha$

نسبت اختلاف دما، (بدون بعد)

$\beta$

گرمای نهان چگالش یا تبخیر،  $kJ/kg$

$\lambda$

بازدهی نمزدایی

$\varepsilon_y$

بازدهی حرارتی

$\varepsilon_H$

جزء خالی آکنه

$\varepsilon$

عملکرد مبدل حرارتی

$\varepsilon_{HE}$

ویسکوزیته دینامیک،  $kg/ms$

$\mu$

دانسیته،  $kg/m^3$

$\rho$

ویسکوزیته،  $N/m^2$

$\nu$

کشن سطحی،  $N/m$

$\sigma$

افت فشار بستر خیس،  $Pa/m$

$\Delta P_{irr}$

افت فشار بستر خشک،  $Pa/m$

$\Delta P_d$

اختلاف حرارت رقت،  $J/kg$

$\Delta h_s$

زیرنویس‌ها

هوا

$a$

برج

$c$

بستر خشک

$d$

مؤثر، شرایط تعادل

$e$